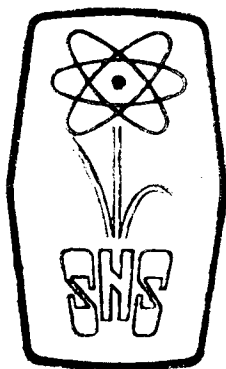


一九八一年年会 论文摘要汇编



上海市原子核科学技术学会

一九八一年九月

编辑说明

1. 凡各单位报送的论文摘要均全部收录，按专业组加以分类编排。
2. 各专业组内不再分专题，均以论文摘要收到时间先后顺序编号。
3. 限于篇幅，论文摘要均以500字为限。除部分已请作者自行修改外，部分摘要内容已由编者作了删节，省略了图表、结构式和公式等。限于编者水平，如有不当之处，敬请作者、读者谅解。
4. 部分论文摘要内容可能与几个专业组有关，为避免重复，仅编入某一专业组。可能专业分组上有欠妥之处，请读者原谅。

一九八一年年会学术资料组

一九八一年七月廿日

目 录

一、核物理专业组

- 1001 秦皇箭铀的离子束分析
- 1002 $n-D$ 散射截面的相移分析
- 1003 PIXE 法分析大气飘尘中元素成分
- 1004 利用沟道效应测定锡在碳化硅中的晶格位置
- 1005 Skyrme 力与 ^{16}O 低能级的研究
- 1006 共振吸收法测定能级寿命
- 1007 复合核前反应中的边缘效应和集团反应
- 1008 $d+d$ 积分微分方程和核函数的新推导
- 1009 非弹性散射中的四极—八极双声子激发
- 1010 重核裂变的非平衡统计理论
- 1011 五个核子系统的系统研究
- 1012 核力和口袋的分裂
- 1013 ^{16}O 中有效三体力的进一步研究
- 1014 一种堆共振群方法
- 1015 用磷法核反应法测定茶叶中的氟含量
- 1016 适用于 γ 能谱相对测量技术的一种简便自动规格化数据处理方法
- 1017 $^{181}Ta (n, 2n) ^{180m}Ta$ 的快中子反应截面
- 1018 $1P$ 壳核质子反应总截面的研究
- 1019 液氮致冷金硅面垒半导体电子谱仪
- 1020 硅中注铋脉冲激充退火的点阵形变和杂质位置
- 1021 用正电子湮灭方法研究高导磁非晶体合金

- 1022 ^{236}mPu 裂变碎片角分布的测量
- 1023 测量 $^{58}\text{N}(\text{d}, \alpha)^{56}\text{Co}$ 反应的激发函数
- 1024 裂变同质异能态 $^{236\text{m}}\text{Pu}(46\text{FS})$ 的形状确定
- 1025 ^{199}Tl 的在束 γ 谱
- 1026 穆斯鲍尔散射实验
- 1027 无反冲 γ 射线边带效应和量子拍
- 1028 $\text{Si}(\text{Li})$ 半导体。电子谱仪的效率刻度
- 1029 氘子活化测定高纯铜中痕量氮
- 1030 在 X 射线分析中用基本参数法测定合金成分
- 1031 ^{15}N , ^{13}C 和 ^4He 原子的束箔极化和光量子拍
- 1032 应用回旋加速器测量水中微量氘
- 1033 用同位素源激发 X-射线分析法研究人发中微量元素

三 加速器专业组

- 2 0 0 1 螺旋盘谐振腔谐振频率和相速度计算
- 2 0 0 2 直场加速管的场效应选择 and 它的光学特性
- 2 0 0 3 照相法测量离子束的发射度
- 2 0 0 4 快速显示与测量发射相图装置的研制
- 2 0 0 5 对称展 90° 偏转磁铁的色散特性
- 2 0 0 6 回旋加速器束流传输系统的优化设计
- 2 0 0 7 25 MC—80 MC 场效应管核磁共振测场仪
- 2 0 0 8 扇形聚焦回旋加速器中心区的研究
- 2 0 0 9 中心区 $3/3$ 共振线的穿越和稳定的加速轨道
- 2 0 1 0 扇形聚焦回旋加速器磁场设计基准能量的选择
- 2 0 1 1 扇形聚焦回旋加速器的等时场和静态轨道特性
- 2 0 1 2 扇形聚焦回旋加速器中的起隙效应及其对消
- 2 0 1 3 1.4 Mev 中子发生器的中子通量空间分布

三 放射化学专业组

- 3 0 0 1 氘标记二氢埃托芬 (3H-DHE) 及氘标记埃托芬 (3H-E) 的制备
- 3 0 0 2 新法制备的几种氘标记化合物
- 3 0 0 3 ^{14}C 和 ^{15}N 标记氮三胍的制备及其在动物体内分布的初步研究
- 3 0 0 4 3H-假石蒜碱的研制
- 3 0 0 5 一种新的肾上腺扫描剂—6- ^{131}I 碘甲基—胆固醇的合成

- 3 0 0 6 用 TEACCO₂ 激光分离氢同位素
- 3 0 0 7 激光荧光法测定超微量铀的研究—II 磷酸体系中铀酰离子的激光荧光研究
- 3 0 0 8 环境、生物样品中痕量铀的激光荧光测定
- 3 0 0 9 冠醚萃取某些铜系和镉系放射性核素的研究
- 3 0 1 0 用放射性同位素示踪法研究表面活性对硅片表面金属杂质的清洗效果
- 3 0 1 1 三价铀的制备和稳定性研究
- 3 0 1 2 磷酸体系中铀酰离子光化还原的研究
- 3 0 1 3 红外激光萃取法分离铀同位素的研究
- 3 0 1 4 DL-[α , β -³H]谷氨酸的研制
- 3 0 1 5 氘标记腺嘌呤衍生物的制备
- 3 0 1 6 氘标记多巴胺的制备
- 3 0 1 7 高比度氘标记脱落酸的制备
- 3 0 1 8 高比度氘标记 D-葡萄糖和 D-半乳糖的制备
- 3 0 1 9 气液催化交换法制备氘标记脱氧鸟嘌呤核苷酸的研究
- 3 0 2 0 卤素置换法制备氘标记苯的研究
- 3 0 2 1 [⁵, ⁶(n)-³H]前列腺素 E₁ 及 [⁵, ⁶(n)-³H]前列腺素 A₁ 的研究制备
- 3 0 2 2 回旋加速器制备高比度的 K¹³CN
- 3 0 2 3 回旋加速器制备高比度的¹³CO 和¹⁴CO₂
- 3 0 2 4 真空抽出一气相色谱法测定水中氢
- 3 0 2 5 镭-228 的测定
- 3 0 2 6 我国海水提铀状况
- 3 0 2 7 在氧化物—水溶液界面上易水解放射性元素的吸附研究

II. 微量铀在 TiO_2 上的特性吸附问题。

- 3 0 2 8 海水提铀钛吸附剂的研究(一)
- 3 0 2 9 聚丙烯晴—二乙苯偕胺 树脂—有机吸附剂性能的研究
- 3 0 3 0 D P M—1型双管屏幕显示微电泳仪研制
- 3 0 3 1 5—硝基—乙—氨基苯酚与 7 0 1 树脂反应
- 3 0 3 2 硝酸铀酰与 α —氨基—5—硝基苯酚作用
- 3 0 3 3 [碳—11] 氨酸、亮氨酸的快速合成
- 3 0 3 4 化学交换法富集稳定同位素碳—13的级联研究

四 辐射化学专业组

- 4 0 0 1 嘧啶碱自由基的 I N D O 计算 II. 胞嘧啶初级辐射产物的结构
- 4 0 0 2 “F B X”体系的辐射化学反应机理研究
- 4 0 0 3 辐射化学法制备聚全氟乙丙烯(F₂)均相离子交换膜 II 预辐照 F₂薄膜同蒸发—冷凝汽的接枝共聚
- 4 0 0 4 聚四氟乙烯辐射降解研究(第二报)改进氟磺化聚乙烯的耐腐蚀性
- 4 0 0 5 几种环氧聚脂玻璃钢材料在介质中的辐射老化试验
- 4 0 0 6 预辐射接枝技术应于液相色谱粗体的制备
- 4 0 0 7 丙烯酸类涂料及其电子束辐射固化
- 4 0 0 8—4 0 4 7 请见本部分正文

五 临床核医学专业组

- 5 0 0 1 放射受体分析测定 Graves 病甲状腺刺激抗体。
- 5 0 0 2 血清胃泌素放射免疫测定对慢性萎缩性胃炎的诊断价值。

- 5 0 0 3 血清总 T₄ 测定的临床价值及放射免疫法与竞争性巨白结合法的结果比较。
- 5 0 0 4 放射性胶体肝扫描肺摄取增高。
- 5 0 0 5 —9.9m 腹部扫描诊断残留胃窦综合征
- 5 0 0 6 腹膜后肿瘤肝扫描误诊肝占位性病变病例分析
- 5 0 0 7 ¹³³Xe 廓清试验诊断下肢动脉闭塞性疾病。
- 5 0 0 8 放射性示踪剂 (胶体 ¹⁹⁸Au 或 ¹³¹碘-人血清白蛋白) 在诊断淋巴回流障碍疾患的应用。
- 5 0 0 9 甲胎蛋白放射免疫测定在重症肝炎中的临床观察。
- 5 0 1 0 用甲胎蛋白放免测定法对本院 121 名职工肝癌普查小结。
- 5 0 1 1 迟发性运动障碍的血浆环核苷酸含量分析
- 5 0 1 2 心血管疾病患者在日全食期间血浆环核苷酸和皮质醇含量的变化。
- 5 0 1 3 ³H-冰片在机体内的吸收, 分布和排泄—中药冰片芳香开窍机理的初步探讨。
- 5 0 1 4 用 ⁸⁶Rb 研究苏冰滴丸抗心肌缺血的机理
- 5 0 1 5 血浆甲状腺素、皮质醇和胰岛素在甲亢患者及非甲亢高血压患者中的昼夜节律性变化。
- 5 0 1 6 正常男性老年人血清性激素和促性腺激素的变化。
- 5 0 1 7 诊断急性心肌梗塞—血清肌红蛋白放免 (双抗体法) 测定的临床价值。
- 5 0 1 8 血清肌红蛋白放射免疫测定的临床应用
- 5 0 1 9 “游离甲状腺素指数” (FT₄I) 的临床应用
- 5 0 2 0 快速血清苯妥因钠放射免疫双抗体法测定
- 5 0 2 1 快速血清 (浆) 胰岛素放射免疫 (PEG 法) 测定及其

- 正常值。
- 5 0 2 2 孕妇甲胎蛋白放射火箭电泳自显影的测定及其临床价值。
- 5 0 2 3 肌红蛋白放射免疫双抗体法操作技术探讨
- 5 0 2 4 急性心肌梗塞早期诊断的快速筛选试验—血清肌红蛋白放射免疫测定的临床评价
- 5 0 2 5 电子计算机在核医学上的应用之三，电算在放射性核素自动取源装置（机械手）的应用
- 5 0 2 6 过氯酸钾分泌试验在慢性淋巴细胞性甲状腺炎患者的观察
- 5 0 2 7 五种蛋白激素的乳过氧化物酶酶促¹²⁵碘化法
- 5 0 2 8 分侧有效肾血浆流量测定
- 5 0 2 9 放射性核素颅内脑脊液显像与X探头
- 5 0 3 0 自身免疫性甲状腺炎甲状腺功能检查
- 5 0 3 1 血清绒毛膜促性腺激素（HCG）放射免疫在临床应用中的价值
- 5 0 3 2 加大扣除连续扫描
- 5 0 3 3 国产药盒放射免疫测定苯妥英钠的临床应用
- 5 0 3 4 血清游离甲状腺激素指数（FT₃I、FT₄I）测定及其初步临床应用
- 5 0 3 5 150例次放射性核素左心室喷血分数运动试验结果分析
- 5 0 3 6 利尿肾图鉴别真性和假性阻塞的初步评价
- 5 0 3 7 ¹²⁵I—苯妥英钠放射免疫测定药盒的研制及临床初步应用
- 5 0 3 8 肺癌患者血浆环状核苷酸含量与中医辨证关系的研究
- 5 0 3 9 精神病患者血浆环核苷酸含量中医辨证关系的探讨

- 5040 用放射性核素检查法研究中医虚证临床规律与甲状腺功能的关系
- 5041 144例甲状腺肿块扫描与病理对照之探讨
- 5042 用⁵¹Cr释放检测人外周血单个核细胞ADCC活力的影响因素探讨
- 5043 实体瘤细胞放射自显影
- 5044 γ -闪烁断层摄影
- 5045 ¹³¹碘-6甲基胆固醇肾上腺显象
- 5046 应用电子计算机储存和检索甲胎蛋白放免分析病史
- 5047 放射免疫法胃泌素测定的初步临床应用
- 5048 放射免疫法测定血清苯妥英钠的初步临床应用
- 5049 胃扫描对减压法骨坏死诊断的初步研究
- 5050 免疫放射法测定抗甲状腺球蛋白抗体
- 5051 快速诊断急性心肌梗塞肌红蛋白放射免疫试剂盒的制备 (RIA)
- 5052 三种老年常见病者血清中元素浓度之变化
- 5053 不同生理及病理情况下血清GH的变化—437例测定结果
结果初步报告
- 5054 放射性核素肾图137例临床分析
- 5055 肾动态照相、肾图和肾血流量等测定在高血压病中的应用。
- 5056 快速检测亚锡在铅—铊, 发生器药合中的应用
- 5057 用人类绒毛膜促性激素 β -亚单位(β -HCG)放射免疫测定法检验随意尿诊断早孕初步报告
- 5058 门电路 γ -闪烁显像测定心室壁局部收缩功能I. 方法

- 5059 以酒石酸亚锡为降解剂的 ^{99m}Tc -白蛋白药盒的研制
- 5060 血清胃泌素的临床应用
- 5061 新的肿瘤定位剂 ^{99m}Tc -博莱霉素 A_5 衍生物

六-1 基础核医学专业组

- 6101 放射免疫法测定实验性肾功能衰竭(ARF)
- 6102 放射免疫测定观察口服不同剂量地高辛血清浓度变化的实验研究
- 6103 ^{131}I -I邻碘马尿酸测定有效肾血浆流量(ZRPF)观察川芎对实验性急性肾衰的防治作用
- 6104 用放射免疫测定法研究有害因素对狗肾上腺皮质功能的影响(I)
- 6105 II, 磷酸羟基 啞啉对狗慢性毒性试验时血浆皮质醇含量的变化
- 6106 III, ^{60}Co γ 线 400rad 照射后狗血皮质醇含量的改变
- 6107 IV, 烧伤休克期狗血皮质醇浓度的改变
- 6108 驱血带在肢体手术中的作用
- 6109 补肾壮阳等肾上腺切除大白鼠血清、甲状腺素、胰岛素及血浆环核苷酸的影响
- 6110 中药对甲减、甲亢动物血浆及组织
- 6111 稳定性同位素分析法
- 6112 家兔体内尿素流量测量- ^{15}N 尿素的示踪实验
- 6113 环维黄杨星D和心肌质膜的结合与哇巴因不同
- 6114 苯妥英钠的放射免疫研究
 - I 苯妥英钠免疫原-苯妥英钠戊酸牛血清白蛋白结合物的合成

- 6 1 1 5 II 苯妥英抗血清的制备
- 6 1 1 6 III 氘标记苯妥英 ($3\text{H}-\text{DPH}$) 的制备
- 6 1 1 7 IV $3\text{H}-\text{DPH}$ 测定苯妥英钠兔抗血清的滴度及特异性
- 6 1 1 8 V 135I 标记苯妥英醋酸酐酪氨酸乙酯结合物的制备
- 6 1 1 9 VI 苯妥英放射免疫分析方法的建立
- 6 1 2 0 苯妥英放射免疫研究
- 6 1 2 1 VII 苯妥英放射免疫药合的临床应用
- 6 1 2 2 苯妥英钠免疫原—苯妥英钠戊酸—牛血清白蛋白结合物的合成
- 6 1 2 3 [碳-11] 缬氨酸、亮氨酸、环戊氨酸在小鼠脏器和瘤内分布的研究
- 6 1 2 4 99mTc 标记脂质体淋巴结显像
I 制备方法与动物实验
- 6 1 2 5 亲肿瘤剂的初步研究
— 61Co 169Yb 111In 和 57Co 争光霉素标记物及 111In 的氯化物和枸橼酸盐在肿瘤动物中的分布
- 6 1 2 6 113mIn 标记人血清白蛋白微球的制备与动物实验和临床应用
- 6 1 2 7 113mIn —血清白蛋白微球肺扫描的动物实验和临床应用
- 6 1 2 8 放射自显影和肾图研究 99mTc —葡萄糖酸盐 203Pb —新醇 99mTc —DMSA 113mIn —DMSA 和 169Yb —DTPA 在肾脏中分布
- 6 1 2 9 杀菌剂 402 对 $3\text{H}-\text{TDP}$ 参入小鼠肝 DNA 亚细胞合成的影响

- 6130 用FJ-2100液体闪烁计数器测量生物体超弱发光
- 6131 ^3H -TdR 参入法检测药物对人胚肺成纤维细胞的作用
- 6132 用于放射性同位素标记细胞培养的半微量多头样品收集器
- 6133 α -银环蛇毒素制备与N-胆碱能受体的研究 II 115I- α -银环蛇毒素的制备
- 6134 α -银环蛇毒素制备与N-胆碱能受体的研究 IV 观察药物和毒物对N-胆碱能受体的影响
- 6135 糖皮质激素胞液受体的活性炭吸附测定法
- 6136 应用 ^3H -TdR 参入试验观察小鼠不同肠段的DNA合成
- 6137 用同位素源激发X射线分析法研究人发中微量元素
- 6138 中药大黄的多元素X射线分析
- 6139 ^{14}C -咪喹啉(^{14}C -M170)在动物体内的吸收分布排泄
- 6140 从微量生物标本制备 ^{15}N -氮气样品装置的改进
- 6141 急性白血病外周血 ^3H -TdR
 ^3H -UP 参入试验的意义
- 6142 高比度氚标记琥珀酰环磷酸鸟苷(^3H -SCGMP)的制备及其还环磷酸鸟苷(CGMP)放射免疫分析法中的应用
- 6143 玻璃纤维膜片法对 ^3H 及 ^{14}C 双标记样品作固相液体闪烁测量的可靠性问题
- 6144 小鼠心肌及胸腺组织腺苷酸环化酶活动测定
- 6145 狗重厚急性放射病几个机能改变的探讨
- 6146 高等植物辐射损伤的修复 I 咖啡因对修复的抑制作用

- 6 1 4 7 19—131碘胆甾醇对8—131碘甲基胆甾醇小白鼠肾上腺摄取影响的探讨
- 6 1 4 8 油菜幼芽提取液对元麦萌发种子的辐射保护作用
- 6 1 4 9 X射线间歇照射对小麦幼苗生长影响的初步观察
- 6 1 5 0 促黄体生成素的放射免疫测定法及其在青春发育研究中的应用
- 6 1 5 1 3H-醛固酮在豚鼠耳蜗和其他组织中的分布
- 6 1 5 2 放射免疫测定法在兽医科学的研究进展
- 6 1 5 3—6 1 5 4 请见本部分内容

六—2 辐射生物学与放射医学专业组

- 6 2 0 1 131碘治疗“甲亢”后发生白血病一例报告
- 6 2 0 2 内消瘰癧片减少131碘在大鼠甲状腺内的蓄积作用
- 6 2 0 3 60Co—γ射线对小白鼠肉瘤S—180细胞效应的研究
- 6 2 0 4 小鼠淋巴细胞性白血病细胞(ALL 771)的体内琼脂扩散盒培养及其辐射敏感性研究
- 6 2 0 5 三年低剂量率γ射线照射诱发狗的染色体畸变
- 6 2 0 6 三年低剂量率γ射线照射对狗外周血淋巴细胞微核率的影响
- 6 2 0 7 三年低剂量率γ射线照射对狗骨髓细胞增生活动的影响
- 6 2 0 8 三年低剂量率γ射线照射对狗血液的影响
- 6 2 0 9 三年低剂量率γ射线外照射对狗精子生成及生育能力的影响
- 6 2 1 0 连续三年低剂量率γ射线照射对狗T淋转率影响的动态观察

- 6 2 1 1 三年低剂量率 γ —线外照射对狗机体的影响
- 6 2 1 2 2 7 5例正常人染色体分析
- 6 2 1 3 人的淋巴母细胞的细胞周期与各时期的辐射敏感性
- 6 2 1 4 元麦对软X射线引起的染色体损伤的修复
- 6 2 1 5 用 γ 能谱仪测定钍中毒动物的脏器中钍子代放射性强度的方法
- 6 2 1 6 DNA修复酶系统的研究 I 紫外线诱发SH—TdR在着色性干皮病、淋巴细胞中的非合成期掺入的研究
- 6 2 1 7 应用放射免疫测定对脑内脑啡肽含量的研究 I 电离辐射对脑啡肽含量的影响
- 6 2 1 8 应用放射免疫测定法对脑内脑啡肽含量的研究 II 电刺激尾壳核对脑内脑啡肽含量的研究
- 6 2 1 9 应用放射免疫测定法对脑内脑啡肽含量的研究 IV 三种麻醉药对脑啡肽含量的影响
- 6 2 2 0 应用放射免疫测定法对脑内脑啡肽含量的研究 V 烧伤对脑内脑啡肽含量的影响
- 6 2 2 1 贫氘水对小麦萌芽的影响
- 6 2 2 2 平菇在不同丰度氘水配制的培养基中的生长和变异
- 6 2 2 3 局限性放射性皮肤、粘膜和脏器损害 1 2 3 例临床分析
- 6 2 2 4 2 0例慢性放射病的诊断讨论
- 6 2 2 5 小鼠骨髓细胞CFU—B的测定
- 6 2 2 6 关于人 α_2 -M”制剂的实验研究
- 6 2 2 7 用眼球结膜微血管荧光造影法测定照射家兔的循环时间和毛细血管通透性

- 6 2 2 8 芪甲丹注射液对中度急性放射病疗效的实验研究
- 6 2 2 9 芪甲丹注射液对照射小白鼠防治效价的实验观察
- 6 2 3 0 中医益气祛瘀法治疗造血型急性放射病的实验研究
- 6 2 3 1 放射性核素加速排除药物研究 1. 取代苯酚氨基酸螯合剂结构与促排效果的关系
- 6 2 3 2 放射性核素加速排除药物研究 2. 某些取代苯酚氨基酸螯合剂的化学合成及效果研究
- 6 2 3 3 混合配位体对放射性铯的排出和镉中毒的解救
- 6 2 3 4 S_{186} 对狗组织内铜、锌、锰微量元素的影响
- 6 2 3 5 S_{186} 对犬血液胆碱酯酶活力的影响
- 6 2 3 6 8 1 1 (螯核羧酸) 对放射性核素的治疗效果和毒性研究
- 6 2 3 7 猪血浆中 α_2 M 制剂的提取
- 6 2 3 8 电离辐射与成纤维细胞关系的初步探讨
- 6 2 3 9 心导管检查时患者所受辐射剂量和染色体畸变的研究
- 6 2 4 0 整体照射与离体照射诱发狗外周血淋巴细胞微核率的比较
- 6 2 4 1 甲₂-巨球蛋白对受辐照小白鼠骨髓细胞 DNA 合成的影响
- 6 2 4 2 高本底地区居民的血清免疫球蛋白含量
- 6 2 4 3 硝酸钍在血清蛋白中分布的研究
- 6 2 4 4 辐射后家兔血小板吸附功能的观察
- 6 2 4 5 钍的毒理学研究
- 6 2 4 6 钍对人体影响的十年临床研究总结
- 6 2 4 7 辐射引起的自旋从 DNA 及 TMP 向没食子酸丙酯转移

6248 啤酒酵母在不同丰度水中发酵产物(乙醇)等的差异
6249—6255 请见本部分内容

七 探测技术与同位素仪表专业组

- 7001 125 I 的液体闪烁测量
- 7002 1.0—50KV X射线照射量的绝对测量
- 7003 正比计数管中余后脉冲
- 7004 汤逊平衡法自动电位补偿仪的研制
- 7005 X荧光钙、铁分析仪
- 7006 多用途的单道分析器的设计分析
- 7007 用放射性同位素研究喷油咀精密偶件的磨损
- 7008 关于大型氨厂中由西德引进的长棒状放射源使用期限问题
- 7009 尿素汽提塔 γ 液位计的设计与制造
- 7010 γ 液位计在高压容器情况下的调校问题
- 7011 氟化法研究渗碳钢机械元件—钢领磨损的探讨
- 7012 背散射法测量铂电容电介质层的厚度
- 7013 碳-11监测装置—流气式电离室
- 7014 用NaI(TL)井型晶体对碳-11绝对测量
- 7015 高纯硅探测器
- 7016 带切割放大器的时间—幅度转换器
- 7017 ^3H 测量效率的进一步提高
- 7018 半导体X射线探测器
- 7019 碘化汞核辐射探测器
- 7020 带微计算机多道分析器中的专用功能控制键盘